

436

การสมานตะกอนโดยใช้ฟลูอิดไลซ์เบด



นายเสถียร ศำสนนันท์

วิทยานิพนธ์นี้เป็นส่วนหนึ่งของการศึกษาตามหลักสูตรปริญญาวิศวกรรมศาสตรมหาบัณฑิต

ภาควิชาวิศวกรรมสิ่งแวดล้อม

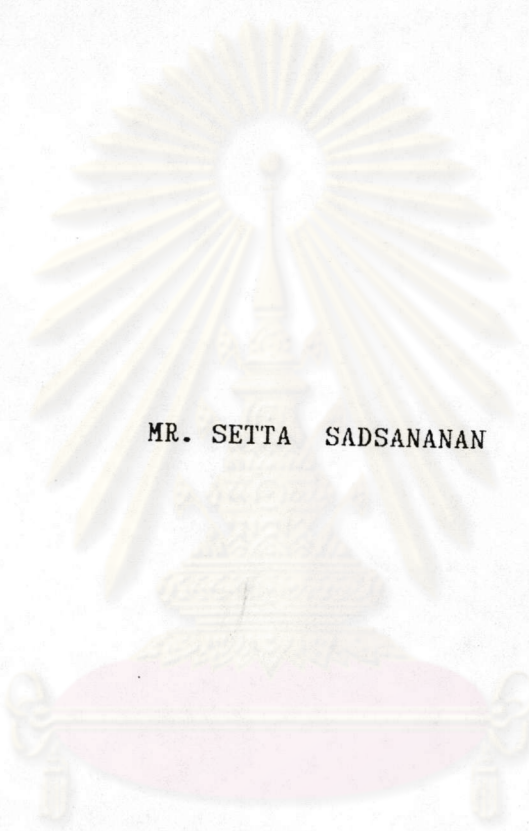
บัณฑิตวิทยาลัย จุฬาลงกรณ์มหาวิทยาลัย พ.ศ. 2538

ISBN 974-632-286-9

ลิขสิทธิ์ของบัณฑิตวิทยาลัย จุฬาลงกรณ์มหาวิทยาลัย

I1675497x

FLUIDIZED BED FLOCCULATION



MR. SETTA SADSANANAN

A thesis Submitted in Partical Fulfillment of the Requirements
for the Degree of Master of Engineering
Department of Environmental Engineering
Graduate School

Chulalongkorn University

1995

ISBN 974-632-286-9

หัวข้อวิทยานิพนธ์
โดย
ภาควิชา
อาจารย์ที่ปรึกษา

การสมานตะกอนโดยใช้ฟลูอิดซ์เบด
นายเสกขุร่า ศาส์นันทน์
วิศวกรรมสิ่งแวดล้อม
รองศาสตราจารย์ ดร. ชีระ เกรอด



บัณฑิตวิทยาลัย จุฬาลงกรณ์มหาวิทยาลัย อนุมัติให้หัวข้อวิทยานิพนธ์ฉบับนี้เป็นส่วนหนึ่งของการศึกษาตามหลักสูตรปริญญาโท

Signature

คณบดีบัณฑิตวิทยาลัย

(รองศาสตราจารย์ ดร. สันติ อังสุวรรณ)

คณะกรรมการสอบวิทยานิพนธ์

Signature

ประธานกรรมการ

(รศ.ดร. มั่นสิน ตัณฑุเลาเศม)

Signature

อาจารย์ที่ปรึกษา

(รศ.ดร. ชีระ เกรอด)

Signature

กรรมการ

(ผศ.ดร. ประแส มงคลศิริ)

Signature

กรรมการ

(ผศ.อรทัย ชวาลภาณี)

พิมพ์ต้นฉบับบทคัดย่อวิทยานิพนธ์ภายในกรอบสี่เหลี่ยมนี้เพียงแผ่นเดียว

เสถียร ศาสนนันท์ : การสมานตะกอนโดยใช้ฟลูอิดิไซด์เบด (FLUIDIZED BED FLOCCULATION) อ. ที่ปรึกษา : รศ.ดร.ธีระ เกรอต, 169 หน้า.
ISBN 974-632-286-9



การสมานตะกอนโดยใช้ตัวกลางที่อยู่ในสภาวะเสมือนการไหลในการกำจัดความขุ่น ทำโดยใช้แบบทดลองทำจากพลาสติกใส ตัวแปรที่ศึกษาได้แก่ ขนาดของตัวกลางแอนทราไซค์ 0.36 มม., 0.72 มม., 1.44 มม. ค่าการขยายตัวของชั้นตัวกลาง 20%, 30%, 45%, 60%, 75% ปริมาณความเข้มข้นสารส้ม 10, 15, 20, 30 มก./ล. น้ำขุ่นสังเคราะห์ที่ใช้เตรียมจากคาโอลินและน้ำประปา ให้มีความขุ่น 50 NTU สารช่วยรวมตะกอนคือ โพลีเมอร์ประจุลบ ความเข้มข้น 0.30 มก./ล.

พบว่า ตัวกลางขนาดเล็กให้ค่าความขุ่นที่เหลือต่ำกว่าประสิทธิภาพการกำจัดความขุ่นสูงกว่าตัวกลางขนาดใหญ่ ปริมาณความเข้มข้นสารส้มที่เหมาะสมของตัวกลางขนาด 0.72 มม. และ 0.36 มม. คือ 30 มก./ล สำหรับตัวกลางขนาด 1.44 มม. ปริมาณความเข้มข้นสารส้มที่เหมาะสม คือ 20 มก./ล. การเพิ่มการขยายตัวของชั้นตัวกลางทำให้ความขุ่นที่เพิ่มขึ้นและประสิทธิภาพการกำจัดความขุ่นลดลง พารามิเตอร์ไร้มิติ Gt ของเครื่องสมานตะกอนมีค่าอยู่ระหว่าง 0.359×10^4 ถึง 0.925×10^4

ศูนย์วิทยทรัพยากร
จุฬาลงกรณ์มหาวิทยาลัย

ภาควิชา วิศวกรรมสิ่งแวดล้อม
สาขาวิชา วิศวกรรมสุขาภิบาล
ปีการศึกษา 2537

ลายมือชื่อนิสิต
ลายมือชื่ออาจารย์ที่ปรึกษา
ลายมือชื่ออาจารย์ที่ปรึกษาร่วม

C 316839 : MAJOR ENVIRONMENTAL ENGINEERING
KEY WORD: FLUIDIZED BED/FLOCCULATION
SETTA SADSANANAN : FLUIDIZED BED FLOCCULATION.
THESIS ADVISOR : ASSO.PROF.THEERA KAROT,
Ph.D. 169 PP.ISBN 974-632-286-9



A study about fluidized bed flocculation was completed. By using a laboratory pilot plant, three major parameters studied were investigated as follows, firstly the media size of anthracite media. Including 0.36 mm, 0.72 mm, 1.44 mm, secondly media expansion which varied from 20% to 75% and finally the concentration of alum solution ranged from 10 to 30 mg/l. The 50 NTU raw turbid water was synthesized from kaolinite clay and tap water. The anionic polymer was utilized as a coagulant aid at concentration of 0.30 mg/l.

The study show that the smaller the media size, the better the turbid removal efficiency. The optimum concentration of alum dose to use for the 0.72 mm and 0.36 mm media is 30 mg/l. For the 1.44 mm. media is 20 mg/l. Expansion of media will decrease the turbid removal efficiency. The dimensionless G^*t values varied from 0.359×10^4 to 0.925×10^4

ศูนย์วิทยทรัพยากร
จุฬาลงกรณ์มหาวิทยาลัย

ภาควิชา.....วิศวกรรมสิ่งแวดล้อม
สาขาวิชา.....วิศวกรรมสุขาภิบาล
ปีการศึกษา.....2537

ลายมือชื่อนิสิต.....
ลายมือชื่ออาจารย์ที่ปรึกษา.....
ลายมือชื่ออาจารย์ที่ปรึกษาร่วม.....

กิตติกรรมประกาศ

ผู้วิจัยขอกราบขอบพระคุณ รองศาสตราจารย์ ดร.ธีระ เกรอด อาจารย์ที่ปรึกษา
วิทยานิพนธ์ ที่ได้ให้คำปรึกษาและแนะนำแก่ผู้วิจัยมาโดยตลอด

ขอกราบขอบพระคุณคณะกรรมการสอบวิทยานิพนธ์ทุกท่าน และ คณาจารย์ในภาควิชา
วิศวกรรมสิ่งแวดล้อมที่ได้ให้ความรู้แก่ผู้วิจัย และขอกราบขอบพระคุณบิดา มารดา ที่คอยให้กำลังใจ
และปลุกดันให้เกิดผลงาน และขอขอบคุณภรรยาของผู้วิจัยที่คอยดูแลเอาใจใส่ด้านอาหารการกิน
และ สุขภาพของผู้วิจัย

ท้ายนี้ ผู้วิจัย ขอขอบคุณทุกคนที่มีส่วนร่วมทั้งในทางตรงและทางอ้อม ซึ่งได้แก่ เจ้าหน้าที่
ห้องปฏิบัติการของภาควิชาวิศวกรรมสิ่งแวดล้อม เจ้าหน้าที่ห้องสมุดภาควิชาวิศวกรรมสิ่งแวดล้อม
จุฬาลงกรณ์มหาวิทยาลัย เจ้าหน้าที่ห้องสมุดสถาบันเทคโนโลยีแห่งเอเชีย เจ้าหน้าที่ห้องสมุด
มหาวิทยาลัยสุโขทัยธรรมมาธิราช

ศูนย์วิทยทรัพยากร
จุฬาลงกรณ์มหาวิทยาลัย



สารบัญ

๕

หน้า

บทคัดย่อภาษาไทย.....	ง
บทคัดย่อภาษาอังกฤษ.....	จ
กิตติกรรมประกาศ.....	ฉ
สารบัญ.....	ช
สารบัญตาราง.....	ฅ
สารบัญรูป.....	ฉ
บทที่	
1. บทนำ.....	
บทนำ.....	1
วัตถุประสงค์.....	2
ขอบเขตการวิจัย.....	2
2. ทฤษฎีและความคิด.....	3
องค์ประกอบและลักษณะของน้ำขุ่น.....	3
ทฤษฎีของกระบวนการสร้างตะกอน.....	5
ทฤษฎีของการกวนเร็ว.....	6
ทฤษฎีสภาวะคงตัวของคอลลอยด์.....	6
ทฤษฎีสภาวะไม่คงตัวของคอลลอยด์.....	7
กลไกทำลายสภาวะคงตัวของคอลลอยด์.....	9
เคมีของสารส้มในน้ำ.....	11
กลไกแบบคอลลอยด์และทำลายประจุ.....	11
กลไกแบบกวาด.....	13
พารามิเตอร์ควบคุมการกวนเร็ว.....	14
ทฤษฎีของการสมานตะกอน.....	15
การใช้โพลีเมอร์เป็นสารช่วยสร้างตะกอน.....	17
ลักษณะโครงสร้างและคุณสมบัติของฟล็อก.....	20

ความเร็วแตรเคียนท์.....	20
สัดส่วนความเข้มข้นสารสัมผัสความเข้มข้น ของอนุภาคความชื้น.....	21
การใช้โพลีเมอร์.....	21
สภาวะเสมือนการไหล.....	22
องค์ประกอบที่มีผลต่อสภาวะเสมือนการไหล.....	23
ความเร็วต่ำสุดของการเกิดสภาวะ เสมือนการไหล.....	24
ความเร็วสุดท้ายของการอยู่ในสภาวะ เสมือนการไหล.....	26
ตัวกระจายของไหล.....	28
ความสัมพันธ์ของความเร็วการไหลขึ้นและค่าความพรุน ของชั้นตัวกลางที่ขยายตัว.....	28
การประยุกต์สภาวะเสมือนการไหลกับการสมานตะกอน.....	29
การค้นคว้าที่ผ่านมา.....	31
3. การดำเนินการวิจัย.....	32
แผนการวิจัยและลำดับการทดลอง.....	32
การเตรียมการเบื้องต้น.....	32
การทดลองสมานตะกอน.....	33
ตัวแปร.....	33
ตัวแปรคงที่.....	33
ตัวแปรอิสระ.....	33
ตัวแปรตาม.....	34


วัสดุและอุปกรณ์ที่ใช้ในการทดลอง.....	34
น้ำขุ่นสังเคราะห์.....	34
สารเคมี.....	35
ตัวกลาง.....	36
อุปกรณ์การทดลองสมานตะกอน.....	37
อุปกรณ์เก็บตัวอย่าง.....	40
เครื่องมือวิเคราะห์.....	41
การเดินระบบ.....	42
การเก็บตัวอย่างและการวิเคราะห์.....	43
การเก็บตัวอย่าง.....	43
การวิเคราะห์น้ำตัวอย่าง.....	43
4. ผลการทดลองและวิจารณ์.....	44
การทดลองเบื้องต้น.....	44
อิทธิพลของความเข้มข้นสารส้ม.....	47
ผลของความเป็นเข้มข้นสารส้มต่อความขุ่นที่เหลือ และ	
ประสิทธิภาพการกำจัดความขุ่น.....	47
อิทธิพลของขนาดตัวกลาง.....	52
ผลของขนาดตัวกลาง ต่อ ค่าความขุ่นที่เหลือ	
และประสิทธิภาพการกำจัดความขุ่น.....	52
ผลของขนาดตัวกลางต่อความเร็วไหลขึ้น.....	58
ผลของขนาดตัวกลางต่อเวลากักเก็บ.....	62
ผลของขนาดตัวกลางต่อการสูญเสียเส็ด.....	65
ผลของขนาดตัวกลางต่อความเร็วแกรดิยนต์.....	68
ผลของขนาดตัวกลางต่อ G*t.....	72

บทที่	สารบัญ (ต่อ)	หน้า
	อิทธิพลของการขยายตัวของชั้นตัวกลาง.....	75
	ผลของการขยายตัวของชั้นตัวกลางต่อค่าความชื้นที่เหลือ และประสิทธิภาพการกำจัดความชื้น.....	75
	ความสัมพันธ์ของการขยายตัวของชั้นตัวกลาง ต่อความเร็วไหลขึ้น.....	80
	ผลของการขยายตัวของชั้นตัวกลางต่อเวลากักเก็บ.....	84
	ผลของการขยายตัวของชั้นตัวกลางต่อการสูญเสียเส็ด...	88
	ผลของการขยายตัวของชั้นตัวกลางต่อความเร็วแกรเดียนท์	92
	ผลของการขยายตัวของชั้นตัวกลางต่อ G*t.....	98
5.	สรุปผลการทดลอง.....	102
6.	ข้อเสนอแนะ.....	106
	เอกสารอ้างอิง.....	107
	ภาคผนวก ก.	109
	ภาคผนวก ข.	126
	ประวัติผู้วิจัย.....	157

ศูนย์วิทยทรัพยากร
จุฬาลงกรณ์มหาวิทยาลัย

สารบัญตาราง

ตารางที่	หน้า
3.1 ตารางแสดงขนาดประสิทธิภาพของตะแกรงเบอร์ต่างๆ	36
3.2 เครื่องมือวิเคราะห์ที่ใช้ในการทดลอง.....	41
ก1 แสดงค่าความชื้นที่เหลือในการทดลองเบื้องต้น.....	120
ก2 แสดงค่า G , t และค่า $G*t$ ของตัวกลางขนาด 1.44 มม.....	121
ก3 แสดงค่า G , t และค่า $G*t$ ของตัวกลางขนาด 0.72 มม.....	122
ก4 แสดงค่า G , t และค่า $G*t$ ของตัวกลางขนาด 0.36 มม.....	123
ก5 ผลการทดลองการหาความหนาแน่นตัวกลาง.....	124
ก6 ผลการทดลองหาความพรุนของตัวกลาง.....	125


 ศูนย์วิทยทรัพยากร
 จุฬาลงกรณ์มหาวิทยาลัย

สารบัญรูป

รูปที่	หน้า
รูปที่ 2.1	4
รูปที่ 2.2	9
รูปที่ 2.3	10
รูปที่ 2.4	19
รูปที่ 3.1	38
รูปที่ 3.2	39
รูปที่ 3.3	40
รูปที่ 4.1	46
รูปที่ 4.2	49
รูปที่ 4.3	49
รูปที่ 4.4	50
รูปที่ 4.5	50
รูปที่ 4.6	51
รูปที่ 4.7	51
รูปที่ 4.8	54
รูปที่ 4.9	54

รูปที่	หน้า
รูปที่ 4.10 ความสัมพันธ์ระหว่าง ประสิทธิภาพการกำจัดความชื้นกับขนาดของตัวกลาง ที่ความเข้มข้นสารส้ม 15 มก./ล.....	55
รูปที่ 4.11 ความสัมพันธ์ระหว่าง ค่าความชื้นที่เหลือกับขนาดของตัวกลาง ที่ความเข้มข้นสารส้ม 15 มก./ล.....	55
รูปที่ 4.12 ความสัมพันธ์ระหว่าง ประสิทธิภาพการกำจัดความชื้นกับขนาดของตัวกลาง ที่ความเข้มข้นสารส้ม 20 มก./ล.....	56
รูปที่ 4.13 ความสัมพันธ์ระหว่าง ค่าความชื้นที่เหลือกับขนาดของตัวกลาง ที่ความเข้มข้นสารส้ม 20 มก./ล.....	56
รูปที่ 4.14 ความสัมพันธ์ระหว่าง ประสิทธิภาพการกำจัดความชื้นกับขนาดของตัวกลาง ที่ความเข้มข้นสารส้ม 30 มก./ล.....	57
รูปที่ 4.15 ความสัมพันธ์ระหว่าง ค่าความชื้นที่เหลือกับขนาดของตัวกลาง ที่ความเข้มข้นสารส้ม 30 มก./ล.....	57
รูปที่ 4.16 ความสัมพันธ์ระหว่างความเร็วไหลขึ้นกับขนาดตัวกลางที่ความเข้มข้น สารส้ม 10 มก./ล.....	60
รูปที่ 4.17 ความสัมพันธ์ระหว่างความเร็วไหลขึ้นกับขนาดตัวกลางที่ความเข้มข้น สารส้ม 15 มก./ล.....	60
รูปที่ 4.18 ความสัมพันธ์ระหว่างความเร็วไหลขึ้นกับขนาดตัวกลางที่ความเข้มข้น สารส้ม 20 มก./ล.....	61
รูปที่ 4.19 ความสัมพันธ์ระหว่างความเร็วไหลขึ้นกับขนาดตัวกลางที่ความเข้มข้น สารส้ม 30 มก./ล.....	61
รูปที่ 4.20 ความสัมพันธ์ระหว่างเวลากักเก็บกับขนาดตัวกลางที่ความเข้มข้น สารส้ม 10 มก./ล.....	63
รูปที่ 4.21 ความสัมพันธ์ระหว่างเวลากักเก็บกับขนาดตัวกลางที่ความเข้มข้น สารส้ม 15 มก./ล.....	63
รูปที่ 4.22 ความสัมพันธ์ระหว่างเวลากักเก็บกับขนาดตัวกลางที่ความเข้มข้น สารส้ม 20 มก./ล.....	64

รูปที่ 4.23	ความสัมพันธ์ระหว่างเวลาพักเก็บกับขนาดตัวกลางที่ความเข้มข้น สารส้ม 30 มก./ล.....	64
รูปที่ 4.24	ความสัมพันธ์ระหว่างการสูญเสียเฮดกับขนาดตัวกลางที่ความเข้มข้น สารส้ม 10 มก./ล.....	66
รูปที่ 4.25	ความสัมพันธ์ระหว่างการสูญเสียเฮดกับขนาดตัวกลางที่ความเข้มข้น สารส้ม 15 มก./ล.....	66
รูปที่ 4.26	ความสัมพันธ์ระหว่างการสูญเสียเฮดกับขนาดตัวกลางที่ความเข้มข้น สารส้ม 20 มก./ล.....	67
รูปที่ 4.27	ความสัมพันธ์ระหว่างการสูญเสียเฮดกับขนาดตัวกลางที่ความเข้มข้น สารส้ม 30 มก./ล.....	67
รูปที่ 4.28	ความสัมพันธ์ระหว่างความเร็วแกรเดียนท์กับขนาดตัวกลาง ที่ความเข้มข้นสารส้ม 10 มก./ล.....	70
รูปที่ 4.29	ความสัมพันธ์ระหว่างความเร็วแกรเดียนท์กับขนาดตัวกลาง ที่ความเข้มข้นสารส้ม 15 มก./ล.....	70
รูปที่ 4.30	ความสัมพันธ์ระหว่างความเร็วแกรเดียนท์กับขนาดตัวกลาง ที่ความเข้มข้นสารส้ม 20 มก./ล.....	71
รูปที่ 4.31	ความสัมพันธ์ระหว่างความเร็วแกรเดียนท์กับขนาดตัวกลาง ที่ความเข้มข้นสารส้ม 30 มก./ล.....	71
รูปที่ 4.32	ความสัมพันธ์ระหว่าง $G \cdot t$ กับขนาดตัวกลางที่ความเข้มข้น สารส้ม 10 มก./ล.....	73
รูปที่ 4.33	ความสัมพันธ์ระหว่าง $G \cdot t$ กับขนาดตัวกลางที่ความเข้มข้น สารส้ม 15 มก./ล.....	73
รูปที่ 4.34	ความสัมพันธ์ระหว่าง $G \cdot t$ กับขนาดตัวกลางที่ความเข้มข้น สารส้ม 20 มก./ล.....	74
รูปที่ 4.35	ความสัมพันธ์ระหว่าง $G \cdot t$ กับขนาดตัวกลางที่ความเข้มข้น สารส้ม 30 มก./ล.....	74

รูปที่	4.36	ความสัมพันธ์ระหว่างประสิทธิภาพการกำจัดความชื้นกับการขยายตัวของชั้นตัวกลางของตัวกลางขนาด 1.44 มม.....	77
รูปที่	4.37	ความสัมพันธ์ระหว่างความชื้นที่เหลือกับการขยายตัวของชั้นตัวกลางของตัวกลางขนาด 1.44 มม.....	77
รูปที่	4.38	ความสัมพันธ์ระหว่างประสิทธิภาพการกำจัดความชื้นกับการขยายตัวของชั้นตัวกลางของตัวกลางขนาด 0.72 มม.....	78
รูปที่	4.39	ความสัมพันธ์ระหว่างความชื้นที่เหลือกับการขยายตัวของชั้นตัวกลางของตัวกลางขนาด 0.72 มม.....	78
รูปที่	4.40	ความสัมพันธ์ระหว่างประสิทธิภาพการกำจัดความชื้นกับการขยายตัวของชั้นตัวกลางของตัวกลางขนาด 0.36 มม.....	79
รูปที่	4.41	ความสัมพันธ์ระหว่างความชื้นที่เหลือกับการขยายตัวของชั้นตัวกลางของตัวกลางขนาด 0.36 มม.....	79
รูปที่	4.42	ความสัมพันธ์ระหว่างความเร็วไหลขึ้นกับการขยายตัวของชั้นตัวกลางของตัวกลางขนาด 1.44 มม.....	81
รูปที่	4.43	ความสัมพันธ์ระหว่างความเร็วไหลขึ้นกับการขยายตัวของชั้นตัวกลางของตัวกลางขนาด 0.72 มม.....	82
รูปที่	4.44	ความสัมพันธ์ระหว่างความเร็วไหลขึ้นกับการขยายตัวของชั้นตัวกลางของตัวกลางขนาด 0.36 มม.....	83
รูปที่	4.45	ความสัมพันธ์ระหว่าง เวลาที่กักเก็บกับการขยายตัวของชั้นตัวกลางของตัวกลางขนาด 1.44 มม.....	85
รูปที่	4.46	ความสัมพันธ์ระหว่าง เวลาที่กักเก็บกับการขยายตัวของชั้นตัวกลางของตัวกลางขนาด 0.72 มม.....	86
รูปที่	4.47	ความสัมพันธ์ระหว่าง เวลาที่กักเก็บกับการขยายตัวของชั้นตัวกลางของตัวกลางขนาด 0.36 มม.....	87
รูปที่	4.48	ความสัมพันธ์ระหว่าง การสูญเสียเฮดกับการขยายตัวของชั้นตัวกลางของตัวกลางขนาด 1.44 มม.....	89

รูปที่	หน้า
รูปที่ 4.49 ความสัมพันธ์ระหว่างการสูญเสียเฮดกับการขยายตัวของชั้นตัวกลาง ของตัวกลางขนาด 0.72 มม.....	90
รูปที่ 4.50 ความสัมพันธ์ระหว่างการสูญเสียเฮดกับการขยายตัวของชั้นตัวกลาง ของตัวกลางขนาด 0.36 มม.....	91
รูปที่ 4.51 ความสัมพันธ์ระหว่างความเร็วแกวเดียนกับการขยายตัวของชั้นตัวกลาง ของตัวกลางขนาด 1.44 มม.....	95
รูปที่ 4.52 ความสัมพันธ์ระหว่างความเร็วแกวเดียนกับการขยายตัวของชั้นตัวกลาง ของตัวกลางขนาด 0.72 มม.....	96
รูปที่ 4.53 ความสัมพันธ์ระหว่างความเร็วแกวเดียนกับการขยายตัวของชั้นตัวกลาง ของตัวกลางขนาด 0.36 มม.....	97
รูปที่ 4.54 ความสัมพันธ์ระหว่าง $G \cdot t$ กับการขยายตัวของชั้นตัวกลาง ของตัวกลางขนาด 1.44 มม.....	99
รูปที่ 4.55 ความสัมพันธ์ระหว่าง $G \cdot t$ กับการขยายตัวของชั้นตัวกลาง ของตัวกลางขนาด 0.72 มม.....	100
รูปที่ 4.56 ความสัมพันธ์ระหว่าง $G \cdot t$ กับการขยายตัวของชั้นตัวกลาง ของตัวกลางขนาด 0.31 มม.....	101